



سنجش از دور



سال ششم، شماره سوم، پاییز ۱۳۹۳
Vol. 6, No.2, Summer 2014

سنگش از دور و GIS ایران
Iranian Remote Sensing & GIS

۳۱-۴۹

شناسایی منابع زمین‌گرماهی با داده‌های سنجش از دور مطالعه موردی: استان خراسان جنوبی، فردوس

^٤ كاظم تباكي بحسناني^١، سيد جمال الدين خواجه الدين^٢، احمد رضا مختارى^٣، رضا جعفري^٤

- ۱. کارشناس ارشد بیان زدایی، دانشکده منابع طبیعی، دانشگاه صنعتی اصفهان
 - ۲. استاد دانشکده منابع طبیعی، دانشگاه صنعتی اصفهان
 - ۳. استادیار، دانشکده مهندسی معدن، دانشگاه صنعتی اصفهان
 - ۴. استادیار دانشکده منابع طبیعی، دانشگاه صنعتی اصفهان

تاریخ پذیرش مقاله: ۱۳۹۳/۴/۴

تاریخ دریافت مقاله: ۱۳۹۲/۶/۱۲

حکیمہ

انحرافی زمین گرمایی از جمله انحرافی های تجدیدپذیر و پاک محسوب می شود و با توجه به امتیازات آن از قبیل بی خطر بودن نسبی، کمک به حفظ محیط زیست، ارزانی جایگزینی مناسب برای ساخت فسیلی به شمار می رود. در این مطالعه به منظور شناسایی منابع زمین گرمایی در منطقه مستعد زمین گرمایی فردوس در استان خراسان جنوبی، از داده های سنجنده ETM^+ لندست ۷ ریوند انس شده به نقشه توپوگرافی ۱:۵۰۰۰۰ شهرستان فردوس استفاده شد. رقم پیکسل باندهای حرارتی به رادیانس طیفی تبدیل گردید و سپس دمای تابشی محاسبه شد. از باندهای مرئی و مادون قرمز نزدیک، شاخص NDVI محاسبه و لایه توان تشخشعی محاسبه گردید. با تلفیق دو دمای تابشی و تشخشعی، دمای سطحی زمین تعیین شد. با روش برازش حداقل مربعات، لایحة نواحی مستعد اکسیدهای آهن و کانی های رسی تولید گردید و گسل های منطقه از نقشه زمین شناسی ۱:۱۰۰۰۰۰. با تلفیق لایه های تولیدی با روش هم برشانی وزن دار، منطقه مستعد زمین گرمایی فردوس شناسایی شد. با این لایه های اصلی مرتبط با تشکیل ذخایر ژوئرمال، دو منبع زمین گرمایی مستعد به منظور بهره برداری از انحراف آنها مشخص شد. این دو منبع زمین گرمایی شناسایی شده با شواهد زمین گرمایی موجود - از جمله چشمee آبرگ و دو آتششان خاموش منطقه - همبستگی مکانی دارد. بنا به یافته های تحقیق حاضر، سنجش از دور روش مقرنون به صرفه ای برای تشخیص تاهنجاری های دمای سطح زمین، ویژگی های زمین شناسی منطقه مانند تشخیص واحد های سنگی و لتراسیون ها است. ترکیبی از سنجش از دور حرارتی با تجزیه و تحلیل زمین شناسی و درک صحیح از سازو کارهای زمین گرمایی، رویکردی دقیق و کارآمد برای تشخیص منابع زمین گرمایی خواهد بود.

کلیدوازه‌ها: سنجش از دور، انرژی زمین‌گرمایی، درجه حرارت سطحی، لندست.

* نویسنده مکاتبه‌کننده: اصفهان، بولوار دانشگاه صنعتی اصفهان، دانشکده منابع طبیعی، تلفن: ۰۳۸۵۸۸۴۸۴۷

۱- مقدمه

بنابراین، تشخیص منابع زمین‌گرمایی با داده‌های حرارتی سنجش از دور موضوع چالش برانگیز و در عین حال جالبی است (Qin et al., 2011) هودر^۱ (۱۹۷۰) با تکنیک‌های سنجش از دور در کالیفرنیا اکتشاف و توسعه انرژی زمین‌گرمایی را بررسی کرد و آن را راه حلی برای مشکلات عملیات شناسایی با داده‌های زمین‌شناسی معرفی کرد لی^۲ (۱۹۷۸) شناسایی ناهنجاری‌های زمین‌گرمایی منطقه لردزبورگ^۳ نیومکزیکو در ایالات متحده امریکا را با داده‌های مادون قرمز حرارتی انجام داد. چشم‌های آب‌گرم ژئوترمال پارک ملی یلوستون با داده‌های مادون قرمز حرارتی AVIRIS و تصاویر مؤئی و مادون قرمز ASTER بررسی گردید و تغییرات حوضه از جمله میزان دگرسانی حرارتی، تغییرات محل و فراوانی مواد معدنی هیدروترمال شناسایی شدند (Ramsey & Hellman, 2004). در شرق کالیفرنیا با تصاویر مادون قرمز حرارتی ماهواره‌استر، اکتشاف منابع ژئوترمال منطقه انجام گرفت. دلیل استفاده از سنجش از دور در این اکتشاف مقرن به صرفه‌تر بودن و کاربردی بودن این روش در مقیاس وسیع عنوان شده است (Eneva et al., 2006).

مطالعات فتوژئولوژی، ژئوشیمیایی و ژئوفیزیکی منطقه دماوند برای شناسایی مخازن زمین‌گرمایی منطقه انجام شد (ENEL, 1980). به دنبال آن، نورعلیئی و همکاران (۲۰۱۰) پتانسیل انرژی زمین‌گرمایی همان منطقه را با استفاده از تصاویر ETM⁺ ارزیابی مجدد کردند و نشان دادند که شرایط حاکم بر مخزن زمین‌گرمایی دماوند طی ۲۷ سال گذشته تغییر محسوسی نداشته است و می‌توان مطالعات اکتشافی تفصیلی را در ناحیه مستعد منطقه زمین‌گرمایی دماوند برنامه‌ریزی و اجرا کرد.

از معمول‌ترین کاربردهای سنجش از دور در زمین‌شناسی، تشخیص واحدهای سنگی و آلتراسیون‌هاست. در مناطق زمین‌گرمایی، واکنش بین سنگ‌های موجود در یک میدان آب‌گرم یا بخار آن

پیشرفت کشورها و صنعتی‌شدن و نیز رشد جمعیت از جمله عواملی هستند که نیاز روزافزون به منابع انرژی را افزایش می‌دهند. با گذشت زمان و کاهش ذخایر انرژی فسیلی، تعادل بین جمعیت و انرژی از بین رفت و در آینده نزدیک، جامعه جهانی با کمیود انرژی مواجه خواهد شد. جهان در تکاپوی گذر از این تنگتای انرژی، به منابع تجدیدشونده - به ویژه انرژی‌های نو و تجدیدپذیر - چشم دوخته است و به سرعت در مسیر تکوین و توسعه فناوری و بهره‌وری از آن گام برمی‌دارد. انرژی زمین‌گرمایی که از انرژی‌های تجدیدپذیر به شمار می‌آید، دارای امتیازاتی از قبیل بی‌خطری نسبی، کمک به حفظ محیط‌زیست و هزینه‌اندک است که می‌تواند جوابگوی بخشی از تقاضای روزافزون انرژی در زمان حال و آینده باشد (کی نژاد و همکاران، ۱۳۹۱؛ رزاقی، ۱۳۹۰؛ نظری‌پور و همکاران، ۱۳۸۹).

انرژی زمین‌گرمایی بخشی از انرژی حرارتی زمین است که با سیالی مانند بخار آب یا آب‌داغ یا هر دو به سطح زمین انتقال می‌یابد. این حرارت در داخل زمین و تحت تأثیر پدیده‌های زمین‌شناسی گوناگون ایجاد می‌شود. این انرژی در امتداد مرزهای صفحات تکتونیکی در نواحی شناخته‌شده آتشفسانی و زلزله‌خیز که دارای شکستگی‌ها و گسل‌های فراوانی هستند، تمرکز بیشتری دارد (Huenges, 2009). بهره‌برداری از انرژی زمین‌گرمایی اندیشه جدیدی نیست و از ابتدای قرن بیستم میلادی تلاش‌های زیادی به منظور تبدیل این انرژی به برق صورت گرفته است، اما انگیزه واقعی بهره‌برداری از این انرژی به پس از سال‌های Geothermal Resources (برمی‌گردد ۱۹۷۴-۱۹۷۳) با تلاش روزافزون برای یافتن منابع انرژی جایگزین، «سنجش از دور» با قدرت تفکیک مکانی و طیفی مناسب تصاویر ماهواره‌ای و همچنین امکان بررسی در مقیاس وسیع، به روشنی مناسب در اکتشاف منابع زمین‌گرمایی تبدیل شده است. تفاوت‌های دمایی سطح زمین شاخص مهمی برای شناسایی مناطق زمین‌گرمایی در تصاویر حرارتی است.

1. Hodder
2. Lee
3. Lordsburg

هدف مطالعه حاضر ررسی پتانسیل زمین‌گرمایی منطقه فردوس در استان خراسان جنوبی و شناسایی عوامل اصلی مرتبط با تشکیل ذخایر ژئوتربمال منطقه مورده مطالعه با استفاده از تکنیک‌های سنجش از دور داده‌های سنجنده⁺ ETM⁺ است.

۲- مواد و روش‌ها

در این بخش با بررسی شرایط منطقه زمین‌گرمایی فردوس و شناخت عوامل مؤثر بر تشکیل ذخایر ژئوتربمال، لایه‌های مؤثر بر شناسایی منابع زمین‌گرمایی از جمله درجه حرارت سطحی زمین، آلتراسیون‌های هیدروتربمال، واحدهای سنگی منطقه مورده مطالعه و گسل‌ها به روش‌هایی که در ادامه می‌آیند تولید و در محیط سامانه اطلاعات جغرافیایی به روش همپوشانی وزن‌دار با یکدیگر تلفیق شدند.

۱-۱- منطقه مورده مطالعه

منطقه مورده مطالعه بین مختصات "۷۸°۵۹'۰۰" تا "۷۸°۴۹'۳۸" مترشرقی و "۳۷°۶۲'۸۶" تا "۳۷°۹۰'۳۲۸" متر شمالی در سیستم مختصات UTM در ۶۴۰۰ هکتار در شمال شرقی شهرستان فردوس واقع شده است (شکل ۱).

بخش عمده سنگ‌های این منطقه را مجموعه‌ای از سنگ‌های آتشفسانی متعلق به دوران سنوزوئیک تشکیل می‌دهند که روی رسوبات کربونیفر و ژواراسیک جریان یافته‌اند. این سنگ‌ها بر جای مانده آتشفسانی‌های پرشمارند که از میان شکاف‌ها یا از حفره‌ها فوران کرده‌اند. دو آتشفسان تک‌کورنگ و کفتار با ارتفاع ۱۷۸۰ متر و ۱۵۳۶ متر از این جمله‌اند. دره‌های پهن میان رشته کوه‌های آتشفسانی گاهی محل خروج گذاشته‌اند. بیشتر این شکاف‌ها با انفجارهای پرشماری که موجب تشکیل آگلومراتی فراوان شده‌اند، مسدود شده و در چهره سطوح فرسایشی به وسیله انباشت‌های تخریبی عهد حاضر پرشده‌اند. سنگ‌های یادشده به وسیله سنگ‌های آذرین گرانیتی تا گرانوویوریتی طی چند مرحله دچار دگرگونی شدند (GSI, Year not recorded).

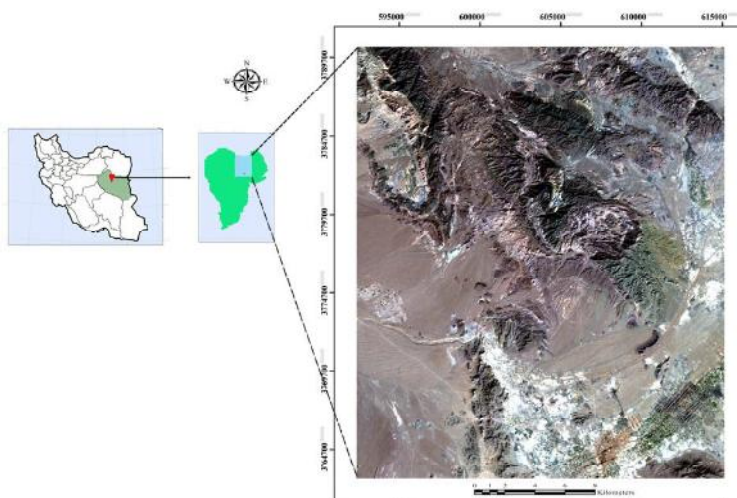
منجر به مجموعه‌ای تحولات و تغییرات نظریه تبلور مجدد، انحلال و رسوب‌گذاری در مقیاس موضعی یا ناحیه‌ای می‌شود. به این تغییرات، آلتراسیون یا دگرسانی گرمایی یا هیدروتربمال اطلاق می‌شود. موقعیت مکانی منبع ژئوتربمال را می‌توان با داده‌های ماهواره‌ای از طریق بررسی کانه‌های دارای بنیان OH تشخیص داد (کی‌نژاد و همکاران، ۱۳۹۱).

یافتن این گونه مناطق مستعد، پس از انجام ارزیابی کلی و با حذف نواحی کم‌اهمیت در مراحل اکتشافی پی‌درپی صورت می‌گیرد. عملیات اکتشاف منابع زمین‌گرمایی - از جمله اکتشاف منابع معدنی - فرایندی است گام‌به‌گام که با اتمام هر مرحله اکتشافی، محدوده مورد نظر برای اکتشاف کوچک‌تر می‌شود و عملیات مرحله بعد در مناطق با پتانسیل بالاتر و با استفاده از روش‌ها و ابزارهای دقیق‌تر انجام می‌پذیرد (کی‌نژاد و همکاران، ۱۳۹۱).

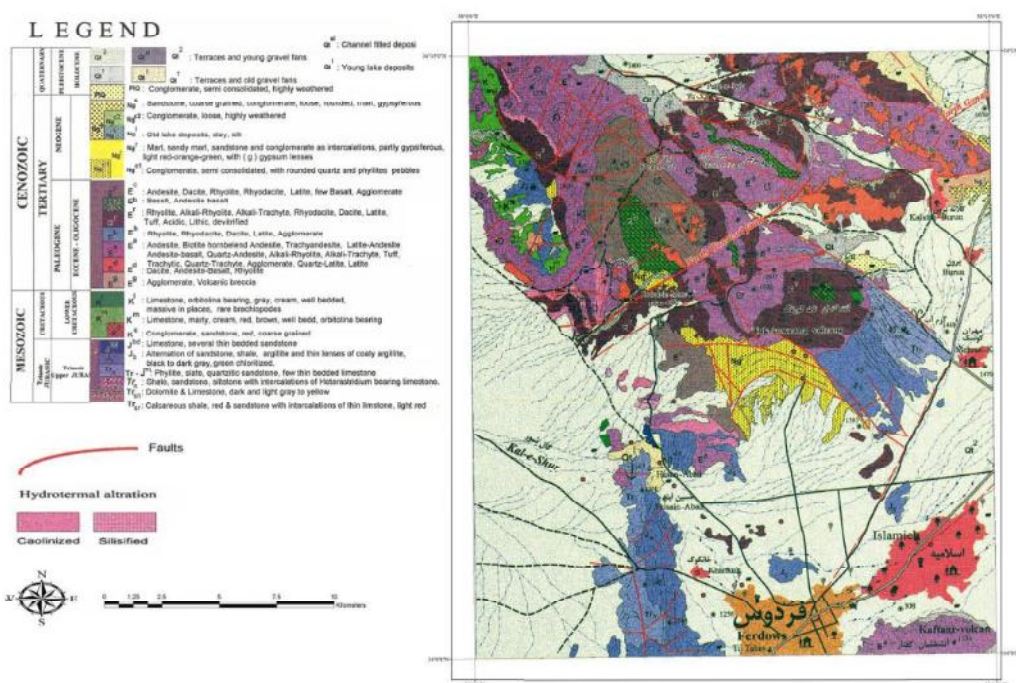
روش‌های تلفیق را می‌توان در دوسته کلی دانشمحور و داده‌محور دسته‌بندی کرد. روش‌های دانشمحور برای وزن‌دهی به هر لایه اطلاعاتی متکی به نظر متخصص براساس مدل هدف اکتشافی است. روش همپوشانی وزن‌دار از جمله روش‌های تلفیق دانشمحور است. در مدل همپوشانی وزن‌دار، ارزش هر پیکسل در نقطه خروجی مجموع ارزش پیکسل‌های لایه‌های ورودی در همان نقطه است که به نسبت ضریب اهمیت آن لایه افزایش یافته‌اند. حساسیت این روش از مدل بولین بیشتر است و به دلیل وزن‌دهی به هر لایه اطلاعاتی و هر واحد در هر نقشه، در مقایسه با مدل بولین انعطاف‌پذیری و حساسیت بیشتری دارد (Bonham-Carter, 1994).

یافتن مناطق امیدبخش از نظر زمین‌گرمایی در ایران از سال ۱۳۵۴ آغاز شد و تا سال ۱۳۷۸، چهارده منطقه امیدبخش در پیوند با نقاط آتشفسانی کشف شد. پس از مطالعات دقیق‌تر در سال ۱۳۸۷، جمعاً ۱۸ نقطه در شمال غرب، مرکز، جنوب، شرق و جنوب‌شرقی ایران به عنوان مناطق دارای پتانسیل زمین‌گرمایی به منظور انجام مطالعات و بررسی‌های بیشتر به ثبت رسیدند (Yousefi et al., 2010).

کاظم تباکی بجستانی و همکاران



شکل ۱. موقعیت منطقه مورد مطالعه



شکل ۲. نقشه زمین منطقه مورد مطالعه

فردوس (GSI, Year not recorded) در این تحقیق به کار گرفته شد (شکل ۲).

۲-۳-۲-پیش‌پردازش داده‌های ماهواره‌ای
بررسی تصویر ماهواره‌ای مورد استفاده از نظر اشکالات اتمسفریک و تابش‌ستنجی - نظیر تیرگی تصویر و

۲-۲-داده‌های مورد استفاده

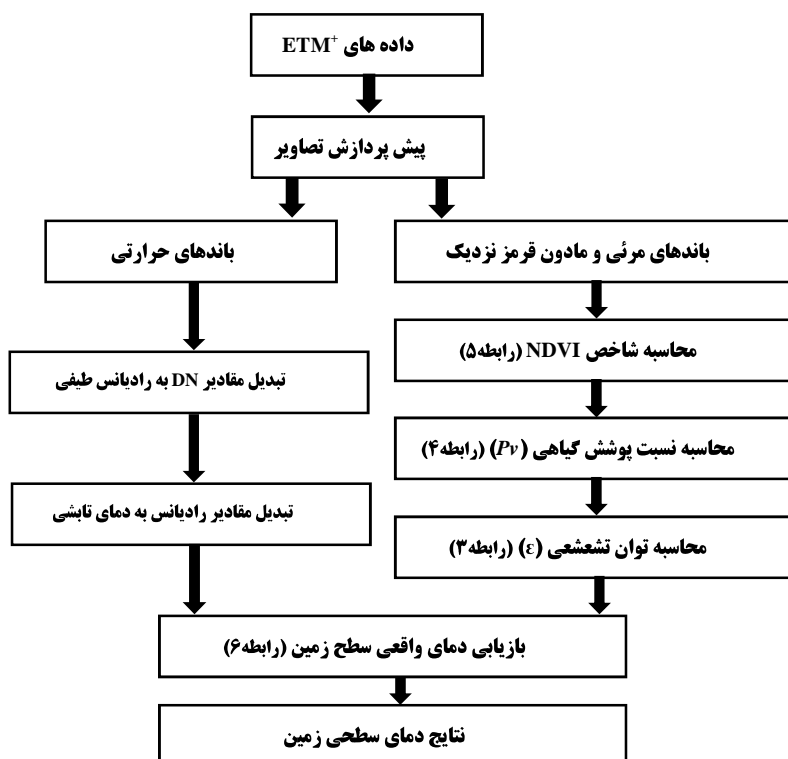
پژوهش حاضر با استفاده از تصویر ETM⁺ دریافت شده در ۱۴ ژانویه ۲۰۰۱ برابر با ۲۵ دی ۱۳۷۹ انجام شد. نقشه توپوگرافی ۱/۵۰۰۰۰۰ ۱/۵۰۰۰۰۰ منطقه فردوس و نقشه زمین‌شناسی ۱/۱۰۰۰۰۰ (NCC, 2001)

۴-۲- ترکیب باندی رنگ کاذب

برای شناسایی مناطق مستعد انرژی زمین‌گرمایی در مراحل اولیه اکتشاف، از ترکیب باندی رنگ کاذب استفاده شد. بدین ترتیب که بهترین ترکیب ۷ باند سنجنده ETM^+ برای ساختن تصاویر ترکیب رنگ کاذب با شاخص مطلوبیت^۱ (OIF) تعیین شد. این روش در تعیین واحدهای سنگی منطقه مورد مطالعه نیز کاربرد دارد. جدول ۳ نتیجه شاخص مطلوبیت را نشان می‌دهد.

۴-۵- بازیابی دمای سطحی زمین^۲ (LST)
گام‌های اصلی برای بازیابی LST در این مطالعه - شامل محاسبه توان تشعشعی و دمای تابشی - در شکل ۳ نشان داده شده‌اند.

نوارشدگی - نشان داد که اشکالاتی از این قبیل در آن وجود نداشت و فقط تصحیحات هندسی روی تصویر اعمال شد. برای این منظور از نقشه‌های توپوگرافی (NCC, 2001) ۱/۵۰۰۰۰ سازمان نقشه‌برداری کشور استفاده شد. تعداد ۳۰ نقطه کنترل زمینی با مختصات UTM انتخاب شد. با بررسی RMSE به دست‌آمده نهایتاً با ۲۵ نقطه کنترل زمینی و با اعمال روش نزدیک‌ترین همسایه و مدل هندسی چندجمله‌ای درجه ۱، باندهای ۳۰ متری با دقت ۰/۲۴ پیکسل زمین مرجع گردید. همچنین باندهای ترمال و پنکروماتیک نیز با دقت ۰/۳۷ پیکسل به باندهای ۳۰ متری زمین مرجع شدند. پس از ثبت هندسی، محدوده مورد مطالعه از تصویر برش داده شد.



شکل ۳. روند نمای بازیابی درجه حرارت سطحی

-
1. Optimum Index Factor
 2. Land Surface Temperature

درجه‌بندی پیکسل (مطابق با $L_{\lambda} \text{ min}$) در DN که کمیت یک استفاده شد. Q_{cal} مقادیر DN ارزش رقومی پیکسل است.

به منظور تبدیل مقادیر رادیانس به دمای تابشی از رابطه (۲) استفاده شد (Landsat 7 SDUH, 2000).

رابطه (۲)

$$T_{\text{sensor}} = \frac{K_2}{\ln(\frac{K_1}{L_{\lambda}} + 1)}$$

در رابطه (۲)، T_{sensor} : دمای تابشی بر حسب کلوین، K_2 : مقدار کالیبراسیون ثابت ۲ از جدول ۲، K_1 : مقدار کالیبراسیون ثابت ۱ از جدول ۲ و L_{λ} : رادیانس طیفی به دست آمده از رابطه (۱) است.

در مرحله نخست، مقادیر DN باند ترمال به وسیله سنسور ماهواره‌ای (L_{λ}) به مقدار رادیانس طیفی دریافتی تبدیل و از رابطه (۱) محاسبه شد (SDUH, 2000).

رابطه (۱)

$$L_{\lambda} = ((L_{\max_{\lambda}} - L_{\min_{\lambda}}) / (Q_{cal\max} - Q_{cal\min})) * (Q_{cal} - Q_{cal\min}) + L_{\min_{\lambda}}$$

در رابطه (۱)، L_{λ} : رادیانس طیفی، $L_{\max_{\lambda}}$: حداقل درخشندگی ثبت شده به وسیله سنسور، $L_{\min_{\lambda}}$: حداقل درخشندگی ثبت شده به وسیله سنسور است. مقادیر $L_{\max_{\lambda}}$ و $L_{\min_{\lambda}}$ برای سنجنده ETM^+ در جدول ۱ آمده است. $Q_{cal\max}$ حداقل مقدار درجه‌بندی پیکسل (مطابق با $L_{\max_{\lambda}}$) در DN که برابر است با ۲۵۵ و $Q_{cal\min}$ حداقل مقدار

جدول ۱. مقادیر $L_{\min_{\lambda}}$ و $L_{\max_{\lambda}}$ برای سنجنده ETM^+

Band.No	ETM ⁺ Spectral Radiance Range				Processed After July 1,2000			
	Processed Before July 1,2000		Watts/(meter squared*ster*μm)		Processed Before July 1,2000		Processed After July 1,2000	
	Low Gain	High Gain	Low Gain	High Gain	Low Gain	High Gain	Low Gain	High Gain
1	-6.2	297.5	-6.2	194.3	-6.2	293.7	-6.2	191.6
2	-6.0	303.4	-6.0	202.4	-6.4	300.9	-6.4	196.5
3	-4.5	235.0	-4.5	158.6	-5.0	234.4	-5.0	152.9
4	-4.5	235.0	-4.5	157.5	-5.1	241.1	-5.1	157.4
5	-1.0	47.70	-1.0	31.76	-1.0	47.57	-1.0	31.06
6	0.0	17.04	3.2	12.65	0.0	17.4	3.2	12.65
7	-0.35	16.60	-0.35	10.932	-0.35	16.54	-0.35	10.80
8	-5.0	244.00	-5.0	158.40	-4.7	243.1	-4.7	158.3

منبع: Landsat 7 SDUH, 2000

جدول ۲. مقادیر کالیبراسیون ثابت باند ترمال سنجنده ETM^+ و TM

ETM ⁺ and TM Thermal Calibration Constants		
	Constant 1 - K1 watts/(meter squared*ster*μm)	Constant 2 - K2 watts/(meter squared*ster*μm)
Landsat 7	666.09	1282.71
Landsat 5	607.76	1260.56

منبع: Landsat 7 SDUH, 2000

ء قابلیت انتقال اتمسفری^۱ است و ناسا آن را محاسبه می‌کند و مقدار آن برای تصویر به کاررفته برابر با ۰/۹۶ است (NASA, 2012). مقدار T_a از رابطه (۹) محاسبه می‌شود (Qin & Karnieli, 2001).

رابطه (۹)

$$T_a = 16 / 0.110 + 0.92621 T_v$$

که در آن T_a : دمای اتمسفری متوسط مؤثر^۲ و T_v : دمای هوا در نزدیکی سطح زمین بر حسب کلوین است و ناسا مقدار آن را برای تصویر به کاررفته، ۲۸۳/۵ درجه کلوین محاسبه کرد (NASA, 2012).

درنهایت برای تبدیل دمای کلوین به دمای سلسیوس مقدار ۲۷۳/۱۵ از مقادیر پیکسل‌های تصویر کم شد.

۶-۲- شناسایی دگرسانی‌های هیدروترمال

برای تعیین مناطق تحت تأثیر آلتراسیون هیدروترمال، روش‌های نسبت باندی، آنالیز مؤلفه‌های اصلی، تکنیک کروستا و برآش حداقل مربعات روی تصویر ماهواره‌ای منطقه اعمال شد.

نسبت باندی ۳/۱ برای شناسایی اکسید آهن محاسبه شد. برای شناسایی مناطق تحت تأثیر کانی‌های رسی از نسبت باندی ۵/۷ استفاده شد. آنالیز مؤلفه‌های اصلی استاندارد با استفاده از تمامی باندها برای شناسایی نواحی مستعد آلتراسیون انجام شد و مؤلفه‌های مناسب برای شناسایی اکسیدهای آهن و هیدروکسیل‌ها انتخاب شدند.

در روش مؤلفه‌های اصلی انتخابی کروستا (Crosta and Moore, 1989) برای نقشه‌برداری اکسید آهن از باندهای ۱، ۳، ۴، ۵ و برای تحلیل و نقشه‌برداری هیدروکسیل‌ها از باندهای ۱، ۴، ۵ و ۷ سنجنده ETM استفاده شد. با بررسی نتایج، مؤلفه‌های مناسب برای شناسایی اکسیدهای آهن و هیدروکسیل‌ها انتخاب

1. Atmospheric transmissivity

2. Effective Mean Atmospheric Temperature

توان تششعشی سطحی از رابطه (۳) محاسبه شد (Sobrino et al., 2004).

رابطه (۳)

$$\varepsilon_{TM} = 0.004 P_v + 0.986$$

در رابطه (۳)، ε : توان تششعشی سطح (LSE) و P_v : نسبت پوشش گیاهی است که مقدار آن از رابطه (Sobrino et al., 2004) به دست می‌آید.

رابطه (۴)

$$P_v = \left[\frac{NDVI - NDVI_{min}}{NDVI_{max} - NDVI_{min}} \right]^r$$

در رابطه (۴)، مقادیر $NDVI_{min}$ و $NDVI_{max}$ به ترتیب معرف پوشش گیاهی بالا و خاک لخت در منطقه هستند. براساس رابطه (۵) برای منطقه مطالعه‌شده مقدار آن به ترتیب ۰/۶۱۹۴۰ و ۰/۱۴۵۸۳۳ به دست آمده است.

رابطه (۵)

$$NDVI = \frac{R_{nir} - R_{red}}{R_{nir} + R_{red}}$$

در رابطه (۵)، $NDVI$: شاخص پوشش گیاهی، R_{nir} : بازتاب در طول موج قرمز (باند ۳ سنجنده ETM⁺) است.

برای تعیین دمای جنبشی (واقعی) از رابطه (۶) استفاده شد (Karnieli & Qin, 2001).

رابطه (۶)

$$T_s = \frac{a_s (1 - C_s - D_s) + [b_s (1 - C_s - D_s) + C_s + D_s] T_{sensor} - D_s T_a}{C_s}$$

در رابطه (۶)، T_s : دمای واقعی سطح زمین بر حسب درجه کلوین، به دست آمده از رابطه (۲)، a_s و b_s مقادیر ثابت و به ترتیب برابر است با ۰/۴۵۸۶ و ۳۴۳/۵ و ۰/۲۷۳/۵ برای درجه حرارت بین ۰/۶۷۷/۳۵۵۳۵۱ درجه کلوین. مقادیر C_s و D_s نیز براساس روابط (۷) و (۸) به دست می‌آیند.

رابطه (۷)

$$C_s = \varepsilon \tau_e$$

$$D_s = (1 - \tau_e) [1 + (1 - \varepsilon) \tau_e]$$

در رابطه‌های (۷) و (۸)، ε مقدار توان تششعشی است که با استفاده از رابطه (۳) به دست می‌آید.

گسل‌های منطقه استفاده شد. تأثیرپذیری هر پیکسل تصویر از گسل‌ها در شعاع ۱۰۰۰ متری تعیین شد. تصویر رستر نهایی براساس میزان تراکم گسل‌ها کلاسه‌بندی و آماده تلفیق شد (شکل ۹).

۹-۲- تلفیق لایه‌ها در محیط GIS

در این مطالعه به منظور تلفیق لایه‌های اکتشافی، از روش همپوشانی وزن دار استفاده شد. مقیاس لایه‌های چگالی گسل، آلتراسیون‌های بنیان OH، اکسیدهای آهن و دمای سطحی منطقه مورد مطالعه نیز برای انجام تلفیق لایه‌ها بین صفر تا ۱۰ تغییر کرد و براساس اهمیت در روند شناسایی منابع زمین‌گرمایی امتیازبندی شد (جدول ۵).

۳- نتایج و بحث

در این بخش نتایج روش‌های به کار گرفته شده در شناسایی مناطق مستعد زمین‌گرمایی و لایه‌های مرتبط با آن از قبیل درجه حرارت سطحی زمین، آلتراسیون‌های هیدروترمال، واحدهای سنگی و گسل‌ها ارائه و بحث شده و نتایج تلفیق این لایه‌ها به روش همپوشانی وزن دار و صحت‌سنجی نتایج نهایی در ادامه آمده است.

۳-۱- ترکیب‌بندی رنگ کاذب

در این پژوهش، مطالعات زیادی در زمینه انتخاب بهترین ترکیب باندها برای نمایش حداکثر اطلاعات کانی‌شناسی سطح زمین صورت گرفت. در این مطالعات، داده‌های کم‌ارزش تقریباً حذف شدند و حداکثر استفاده از اطلاعات مفید صورت گرفت. برای انتخاب نیز از روش فاکتور شاخص بهینه (OIF) استفاده شد (علوی‌پناه، ۱۳۸۷) (جدول ۳).

براساس جدول ۵، بهترین ترکیب باندی برای ساختن تصاویر کاذب رنگی، باندهای ۵، ۶-۲ و ۷ است (شکل ۴). مناطق مستعد زمین‌گرمایی از نظر حرارت و لیتوژوژی در شکل ۴ به رنگ قرمز تیره مشخص است.

شدند و تصاویر F کروستا و H کروستا به ترتیب برای نواحی مستعد اکسیدهای آهن و کانی‌های رسی به دست آمدند.

روش برازش حداقل مربوطات برای تعیین کانی‌های رسی (هیدروکسیل‌های بنیان OH) با باندهای ۱، ۲، ۳، ۴ و ۵ سنجنده ETM⁺ براساس باند ۷ آتاالیز شدند. در تصویر اولیه به دست آمده، مناطق تحت تأثیر کانی رسی با پیکسل‌های تیره مشخص شدند و با ضرب تصویر در عدد (۱-)، این مناطق به رنگ روشن نمایان شدند. با جداسازی مناطق پوشش گیاهی از این تصویر، لایه NDVI پوشش گیاهی منطقه با بهره‌گیری از شاخص تهیه شد، سپس با ماسک پوشش گیاهی، از تصاویر کانی رسی حذف گردید. اکسیدهای آهن نیز از همین طریق روی تمامی باندهای تصویر به جز باند حرارتی و براساس انتخاب باند ۳ برای مدل، شناسایی شدند (کی‌نژاد و همکاران، ۱۳۹۱). مراحل فوق در نرم‌افزار ENVI 4.8 انجام گرفت.

۷-۲- واحدهای سنگی

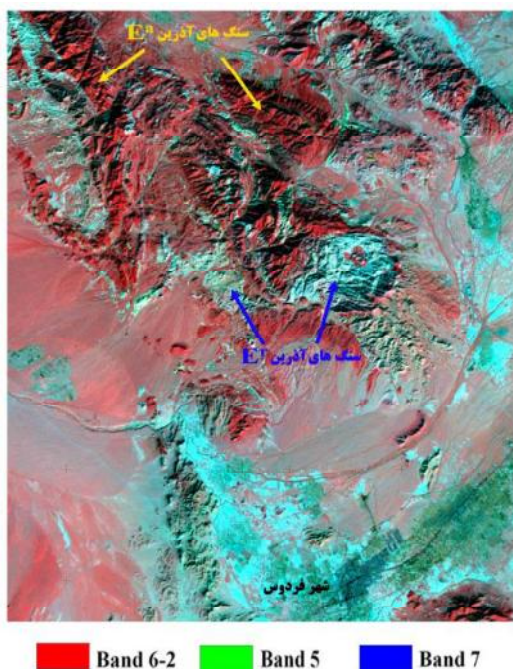
با استفاده از نقشه رقومی زمین‌شناسی ۱:۱۰۰۰۰۰ (GSI، Year not recorded)، سنگ‌های آذرین درونی، بیرونی و سنگ‌های رسوبی منطقه، شناسایی و به صورت رستر آمده شدند. کلاس‌های لایه سنگی، براساس کاهش اهمیت از تراوarten و اسیدی به حد واسط و بازیک و همچنین سن لایه‌ها (کواترنری و پیش از آن)، بین صفر تا ۱۰ امتیازبندی (جدول ۴) و با یکدیگر تلفیق شدند و لایه واحد سنگی منطقه به دست آمد (شکل ۸).

۸- گسل‌ها

گسل‌های موجود اعم از اصلی و فرعی روی نقشه زمین‌شناسی ۱:۱۰۰۰۰ (GSI، Year not recorded) شناسایی شدند. از آنجاکه گسل‌ها به عنوان عامل اصلی ایجاد تخلخل و تراوایی در میادین ژئوتراکم در مقیاس ناحیه‌ای اثرگذارند، از معیار تراکم و چگالی

جدول ۳. شاخص OIF برای داده‌های ETM⁺

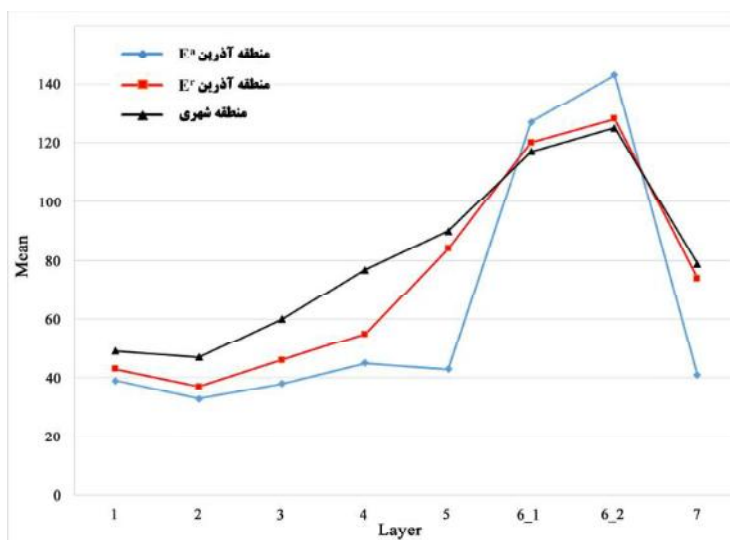
ردیف	شماره باند	شاخص مطلوبیت	شماره باند	شاخص مطلوبیت
۱	B7	B6-2	B5	۲۶/۸
۲	B6-2	B5	B4	۲۶/۷۴
۳	B7	B6-2	B4	۲۵/۳۲
۴	B7	B6-1	B5	۲۴/۴۶
۵	B6-1	B5	B4	۲۴/۲۱
۶	B6-2	B5	B3	۲۲/۱۹



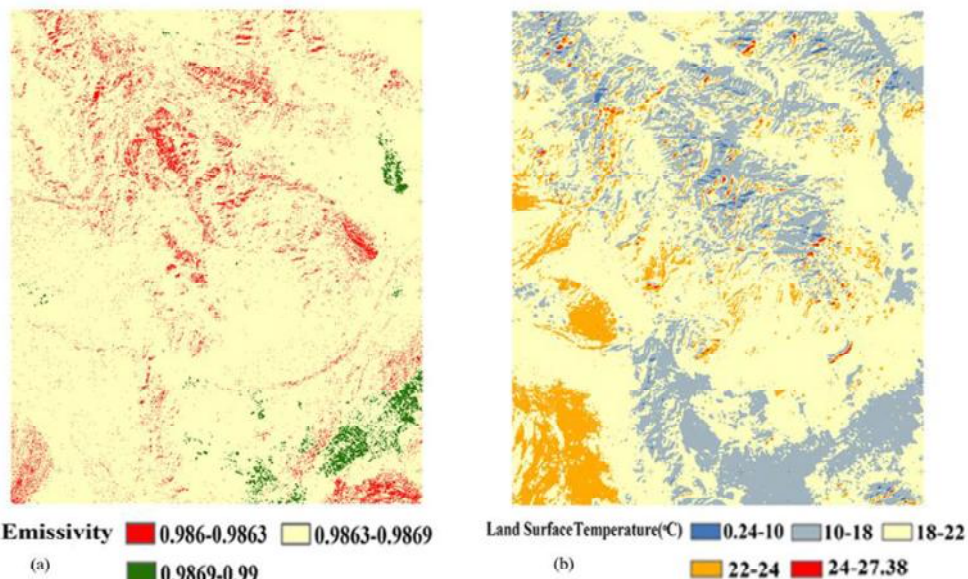
شکل ۴. ترکیب رنگی کاذب بهمنظور شناسایی مناطق مستعد زمین‌گرمایی

دلیل مشابهت بازتاب در باندهای ۵، ۶-۲ و ۷ تفکیک‌پذیر نیست (شکل ۵). نکته گفته شده می‌تواند به دلیل حرارت منطقه شهری باشد که از آسفالت خیابان‌ها، سطوح سیمانی ساختمان‌های شهری و حرارت ایجاد شده از وسایل گرم‌کننده در فصل زمستان ایجاد می‌شود و باعث تداخل بازتاب با لیتوژوئی سنگی می‌گردد. از این‌رو براساس این تصویر FCC نمی‌توان به تنها یکی مناطق مستعد زمین‌گرمایی را شناسایی کرد، اما به همراه نقشه زمین‌شناسی، شناسایی‌های اولیه و تعیین مناطق مستعد احتمالی این تصویر مفید است.

GSi, Year not recorded (آندزیت، بیوتیت هورنبلند آندزیت، تراکی آندزیت، لاتیت آندزیت، و آندزی بازالت) مطابقت دارد و این ترکیب باندی در شناسایی عوارض مناسب است و دقیق آن ۷۸ درصد برآورده شده است. البته منطقه شهری با مناطق دارای پوشش سنگی آذرین گروه E^a (ریولیت، آلکالی ریولیت، آلکالی تراکیت، ریوداسیت، داسیت، لاتیت و تروف اسیدی) که از نظر سنجین‌شناسی با سنگ‌های آذرین قبل متفاوت‌اند، به



شکل ۵. میانگین ارقام پیکسل در باندهای سنجنده ETM^+ برای مناطق سنگ‌های آذربین و شهری



شکل ۶. توان تشعشعی سطحی (LSE) منطقه فردوس (a) و دمای سطحی منطقه در تاریخ ۱۳۷۹/۱۰/۲۵ پس از کلاسه بندی (b)

۲-۳- درجه حرارت سطحی

درجه حرارت سطحی یکی از عوامل اصلی شناسایی مناطق مستعد زمین‌گرمایی بهشمار می‌آید. توجه به توان تشعشعی سطحی در بازیابی درجه حرارت واقعی

1. Yuliang

یولیانگ^۱ و همکاران (۲۰۰۹) در مطالعه‌شان ترکیب باندی FCC(6-7)53 را به ترتیب در RGB قرار دادند و در رنگ قرمز از تفاضل بین دو باند ۶-۷ استفاده کردند. البته شاخص OIF این ترکیب باندی را نیز برای منطقه مطالعه حاضر معرفی کرده است ولی این ترکیب تفاوت چندانی با ترکیب FCC۶۵۷ در شناسایی مناطق مستعد ندارد.

(Wu et al., 2012; Mia et al., 2011). برخی پژوهشگران نیز در مطالعات‌شان به تعیین توان تشعشعی و بازیابی دمای سطحی بر این اساس اشاره‌ای نکردند، که از آن میان می‌توان به جهانگیری (۲۰۱۲)، کی‌نژاد و یولیانگ (۲۰۰۹) اشاره کرد. دمای سطحی‌ای که این افراد به دست آورده بودند به دلیل توجه‌نداشتن آنها به توان تشعشعی اجسام، با ابهام روبرو است. بیشترین درجه حرارت منطقه با ۲۷/۳۸ درجه سلسیوس در کوه‌های اطراف شهرستان فردوس که از نظر لیتولوژی مستعد زمین‌گرمایی هستند، مشاهده شد. تصور بر این بود که دمای شهر فردوس نیز با توجه به فصل زمستان و استفاده از وسایل گرمایی و توسعه شهرنشینی بالاتر از محیط اطراف خود باشد اما مشاهده شد که مناطق مستعد زمین‌گرمایی دمایی بالاتر از منطقه شهر فردوس دارند. روند مناطق دمای سطحی بالا، با سایر شواهد از جمله وجود گدازه و سنگ‌های آتش‌شانی در لایه لیتولوژی و نیز با شواهد سطحی موجود کاملاً همبسته است.

۳-۳-آلتراسیون‌های هیدروترمال

نتایج حاصل از هر روش، با نقشه زمین‌شناسی منطقه مورد مطالعه مقایسه و ارزیابی شد. به دلیل شباهت رفتار طیفی پوشش گیاهی و کانی‌های رسی، مناطق تحت تأثیر کانی‌های رسی با پوشش گیاهی تداخل داشتند. در طبقه‌بندی نظارت‌شده، پوشش گیاهی منطقه با اعمال ماسک از تصاویر طبقه‌بندی شده حذف شد. تمامی روش‌های به کار گرفته شده در این تحقیق برای شناسایی مناطق تحت تأثیر آلتراسیون‌های هیدروترمال، روند یکسانی را نشان می‌دهند. اما تفاوت در مناطق مشخص شده در نقشه زمین‌شناسی است که

اجسام، ضروری و اجتناب‌ناپذیر است. در مطالعه حاضر به دلیل کاهش تأثیر انرژی گرمایی خورشیدی در درجه حرارت سطحی خاک و تفکیک بهتر مناطق زمین‌گرمایی، از تصویر فصل زمستان استفاده شد. درجه حرارت سطحی منطقه مطابق با روابط بازیابی درجه حرارت سطحی - که در فصل مواد و روش‌ها (روابط ۱ تا ۹) بدان اشاره شد - محاسبه شد. در شکل ۶ توان تشعشعی سطحی منطقه و دمای منطقه بر حسب درجه سلسیوس پس از کلاس‌بندی آمده است.

همان‌گونه که انتظار می‌رفت منطقه مستعد از نظر لیتولوژی زمین‌گرمایی به دلیل ماهیت سنگ‌های آذرین، توان تشعشعی پایین‌تری دارد و بیشترین توان تشعشعی نیز مربوط به پوشش گیاهی منطقه است، که عموماً زمین‌های کشاوری و باغ‌ها هستند. اندازه‌گیری توان تشعشعی در به دست آوردن دمای واقعی منطقه اهمیت بسیاری دارد. در مطالعه یاردادانگ درخصوص بیابان لوت، در نظر گرفتن توان تابشی دقیق برای پدیده‌ها یا خاک‌های مورد مطالعه الزامی بیان شده است (علوی‌بناه، ۱۳۸۱).

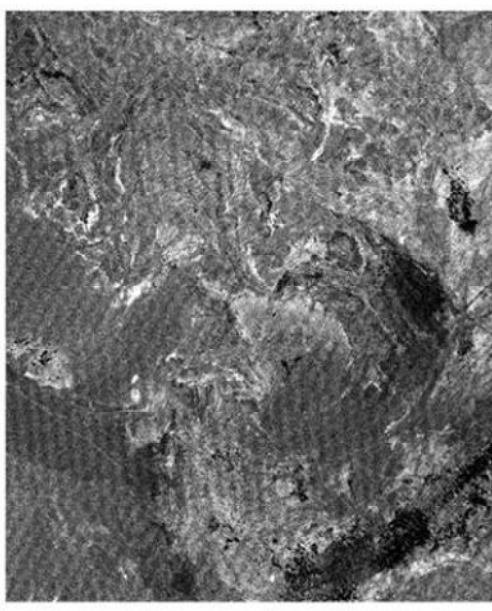
تصویر دمای سطحی یکی از مؤلفه‌های مهم تعیین مناطق مستعد زمین‌گرمایی است. اکثر دانشمندان و پژوهشگران در شناسایی منابع زمین‌گرمایی از آن بهره برده‌اند و شناسایی ناهنجاری‌های دمای سطح زمین نقش بسزایی در روند مطالعات این افراد داشته است. از جمله می‌توان به این مطالعات اشاره کرد: هلمن و رامزی^۱ (۲۰۰۴)، انوا^۲ و همکاران (۲۰۰۶)، کین^۳ و همکاران (۲۰۱۱)، وو^۴ و همکاران (۲۰۱۲). برخی پژوهشگران برای بازیابی دمای سطحی زمین از روش NDVI به منظور تعیین توان تشعشعی استفاده کرده و تأثیر پوشش گیاهی را روی درجه حرارت سطحی مطالعه و نقش تعیین توان تشعشعی را در بازیابی درجه حرارت سطحی و شناسایی دقیق منابع زمین‌گرمایی مهم ارزیابی کرده‌اند. مطالعات این افراد، نتایج مطالعه حاضر را تأیید می‌کند (Qin et al., 2004; Sobrino et al., 2004).

1. Hellman & Ramsey
2. Eneva
3. Qin
4. Wu

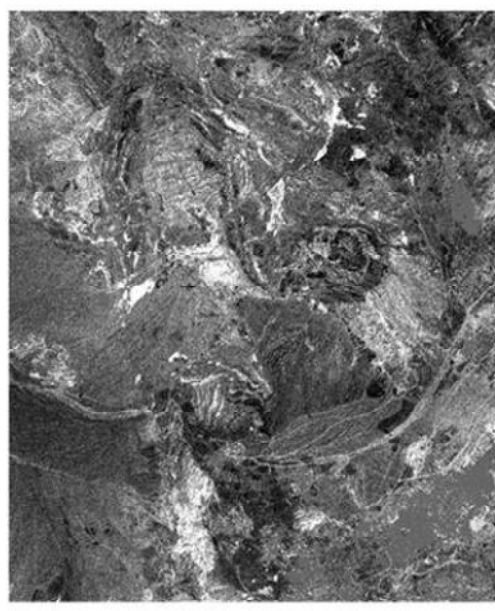
(کی نژاد و همکاران، ۱۳۹۱). نتایج حاصل از این پردازش‌ها در نهایت به صورت رستر آمده و کلاسه‌بندی شدند. به این نکته باید اشاره کرد که در روش‌های به کار رفته در پژوهش حاضر، نواحی دارای واحد سنگی ماسه‌سنگ، شیل و سنگ‌آهک به صورت بسیار محدود به عنوان نواحی مستعد آلتراسیون هیدروترمال شناسایی شدند. در این میان، سهم روش کروستا بیش از سایر روش‌های مساحت بیشتری از سنگ‌های رسوبی را به عنوان آلتراسیون معرفی می‌کند. دلیل این تداخل می‌تواند وجود رس بالا در سنگ‌های رسوبی و رفتار طیفی کاملاً مشابه سنگ‌های رسوبی همانند با واحدهای مارنی به‌ویژه رسوبات آبرفتی با سنگ‌های دگرسان شده باشد. در نتایج پژوهشگران دیگری چون بیاتانی و دیگران (۱۳۸۷) و متكان و دیگران (۱۳۹۱) نیز این تداخل مشاهده شد و ایشان دلیل آن را شباهت رفتار طیفی سنگ‌های رسوبی با کانی‌های رسی عنوان کردند.

به آلتراستیون‌ها مساحتی فراتر از نتایج حاصل در تمام روش‌ها را اختصاص داده است، در حالی که نواحی مستعد در تمامی روش‌ها موقعیت و مساحت تقریباً یکسانی دارند. در مقایسه با مناطق شاهد، مشخص شد که صحت روش برآش حداقل مربعات (شکل ۷) بیش از دو روش دیگر است.

تکنیک برآش کمترین مربعات از کوواریانس داده‌های ورودی برای تخمین باند انتخابی (باند شاخص آنومالی مورد نظر)، به عنوان ترکیبی خطی از باندهای تخمین‌گر برای تعیین مناطق دارای آنومالی استفاده می‌کند. تفاوت (باقي مانده) میان باند اصلی و باند مدل‌شده، محاسبه و به عنوان تصویر نمایش داده می‌شود. پیکسل‌های نمایشگر با بیشترین اختلاف با علامت اصلی و باند مدل‌شده، محاسبه و به عنوان تصویر نمایش داده می‌شود. پیکسل‌های نمایشگر با بیشترین اختلاف با علامت مثبت یا منفی، نشانه وجود خصوصیات پیش‌بینی نشده یا همان آنومالی است



(a) LS-Fit 3 Low : 0 High : 10



(b) LS-Fit 7 Low : 0 High : 10

شکل ۷. مناطق مستعد آلتراسیون هیدروترمال به روش برآش حداقل مربعات، (a) نواحی مستعد اکسیدهای آهن، (b) نواحی مستعد کانی‌های رسی و هیدروکسیل‌ها. نواحی مستعد آلتراسیون هیدروترمال در شکل به صورت پیکسل‌های سفیدرنگ مشخص هستند.

مؤلفه‌های اصلی و روش برآش حداقل مربعات انجام دادند. با بررسی و مقایسه نتایج با شواهد زمینی، روش برآش حداقل مربعات صحت بیشتری در مقایسه با دو روش دیگر دارد. وی نتایج آنالیز مؤلفه اصلی را نیز بسیار شبیه با نتایج روش برآش حداقل مربعات اعلام کرد. نتایج مطالعات این افراد مؤید نتایج بدست آمده در مطالعه حاضر است.

۴-۳- واحدهای سنگی

سنگ‌های آذرین به عنوان نشانه‌هایی از فعالیت‌های آتشفسانی و ماقمایی در دوران‌های مختلف زمین‌شناسی، نقش مؤثری در اکتشافات ژئوتربمال دارند. وجود سنگ‌های آتشفسانی در منطقه مورد مطالعه دلیلی بر افزایش احتمال وجود منابع زمین‌گرمایی است (Yousefi et al., 2007). نحوه امتیازدهی به لایه‌های سنگی براساس اهمیت هر لایه در شناسایی منابع زمین‌گرمایی صورت گرفت (جدول ۴) که برحسب امتیاز هر لایه در این جدول، نقشه واحد سنگی منطقه تولید شد (شکل ۸).

متکان و همکاران (۱۳۹۱) برای شناسایی نواحی دگرسانی از روش‌های ترکیب باندی، نسبت باندی و تکنیک کروستا استفاده کردند. آنها به دلیل شباهت رفتار طیفی پوشش گیاهی با برخی کانی‌های دگرسانی و غنی‌بودن پوشش گیاهی منطقه، روش‌های ترکیب باندی و نسبت باندی را مناسب نمی‌دانند. متکان و همکاران در تکنیک کروستا نیز از باندهای ۱، ۳، ۴ و ۵ برای اکسید آهن و ۱، ۴ و ۷ برای دگرسانی‌های رسی استفاده کردند و این روش را به دلیل کمینه کردن اثر پوشش گیاهی و تکیه بر باندهای طیفی خاص برای بارزسازی مناطق دگرسانی مناسب تشخیص دادند. اشکال این روش را نیز تشدید اثر سنگ‌های رسوبی و دگرسان‌های کم در برآیند تصویر بر شمردند. بیاتانی و همکاران (۱۳۸۷) نیز تکنیک کروستا را در تعیین محدوده‌های دگرسانی غنی از اکسید آهن و کانی‌های هیدروکسیل (رسی) بسیار مؤثر دانستند اما عنوان کردند که در نقشه‌برداری تفصیلی کانی‌های دگرسان به طور جداگانه ناتوان است. کی نژاد و همکاران (۱۳۹۱) در مطالعات تعیین مناطق با پتانسلی بالای ژئوتربمال در استان آذربایجان شرقی، بارزسازی آلتراسیون‌های هیدروترمال منطقه را با روش‌های نسبت باندی، آنالیز

جدول ۴. تفکیک و امتیازبندی کلاس‌های لایه سنگی براساس اهمیت از نظر بیرونی و درونی پودن سنگ‌های آذرین و سن لایدها

واحد سنگی	امتیاز	دوره	دوران	جنس سنگ‌های منطقه مورد مطالعه
Sedimentray-Metamorphic	4	Triassic upper Jurassic	MESOZOIC	Alternation of sandston, shale, argilite and thin lenses of coaly argilite, black to dark gray, green chloritized Andesite, Biotite hornbelend Andesite, Trachyandesite, Latite-Andesite, Andesit-basalt, Quartz-Andesite, Alkali-Rhyolite, Alkali-Trachyte, Tuff, Trachytic, Quartz-Trachyte, Agglomerate, Quartz-Latite, Latite Andesite, Dacite, Rhyolite, Rhyodacite, Latite, few Basalt, Agglomerate
Volcanic Rock	9	Eocene-Oligocene	CENOZOIC	Basalt, Andesite basalt Channel filled deposites
Volcanic Rock	9	Eocene-Oligocene	CENOZOIC	Conglomerate, semi consolidated, highly weathered Conglomerate, semi consolidated, with rounded quartz and phyllites pebbles
Sedimentray2	3	Quaternary	CENOZOIC	Dacite, Andesite-Basalt, Rhyolite
Sedimentray2	3	Neogene, Quaternary	CENOZOIC	
Sedimentray2	3	Neogene	CENOZOIC	
Volcanic Rock	9	Eocene-Oligocene	CENOZOIC	

کاظم تباکی بجستانی و همکاران

ادامه جدول ۴. تفکیک و امتیازبندی کلاس‌های لایه سنگی براساس اهمیت از نظر بیرونی و درونی یوden سنت‌های آذرین و سن لایه‌ها

واحد سنگی	امتیاز	دوره	دوران	جنس سنت‌های منطقه مورد مطالعه
Town & Village	1			FERDOWS
Altered Silisified Rock	8			Hydrothermal altration
Sedimentray I	2	Lower Cretaceous	MESOZOIC	Limestone, marly cream, red, brown, well bedd, orbitolina bearing
Sedimentray I	2	Lower Cretaceous	MESOZOIC	Limestone, orbitolina bearing, gray, cream, well bedded, massive in places, rare brachiopodes
Sedimentray I	2	Triassic upper Jurassic	MESOZOIC	Limestone, serveral thin bedded sandstone
Sedimentray 2	3	Neogene	CENOZOIC	Marl, sandy marl, sandstone and conglomerate as intercalations, partly gypsiferous, light red-orange-green, with(g) gypsum lenses
Volcanic Rock	9	Eocene-Oligocene	CENOZOIC	Rhyolite, Alkali-Rhyolite, Alkali-Trachyte, Rhyodacite, Dacite, Latite, Tuff, Acidic, Lithic, Devitrified
Sedimentray 2	3	Neogene	CENOZOIC	Sandstone, coarse grained, conglomerate, loose, rounded, marl, gypsiferous
Sedimentray I	2	Triassic upper Jurassic	MESOZOIC	Shale, sandstone, siltston with intercalation of Heterastridium bearing limestone
Sedimentray 2	3	Quaternary	CENOZOIC	Terraces and young gravel fans
Sedimentray 2	3	Quaternary	CENOZOIC	Yong lake deposits

راهنما

- [White Box] Town & Village
- [Blue Box] Sedimentary1
- [Light Blue Box] Sedimentray2
- [Green Box] Sedimentray-Metamorphic
- [Yellow Box] Altered Silisified Rock
- [Red Box] Volcanic Rock



شکل ۸. نقشه واحدهای سنگی منطقه مورد مطالعه

بهره‌برداری مورد توجه متخصصان علوم زمین قرار دارند. آگاهی از نقش گسل‌ها در کنترل جریان سیالات زیرسطحی یکی از راه‌های اصلی تشخیص مناطق دارای پتانسیل ژئوترمال است. علاوه بر نقش گسل‌ها در انتقال سیالات هیدروترمال به سطح، ارتباط مستقیم آنها با فعالیت‌های تکتونیکی منطقه نیز از دیگر دلایل اهمیت ویژه گسل‌ها در اکتشافات ژئوترمال است (Qin et al., 2011).

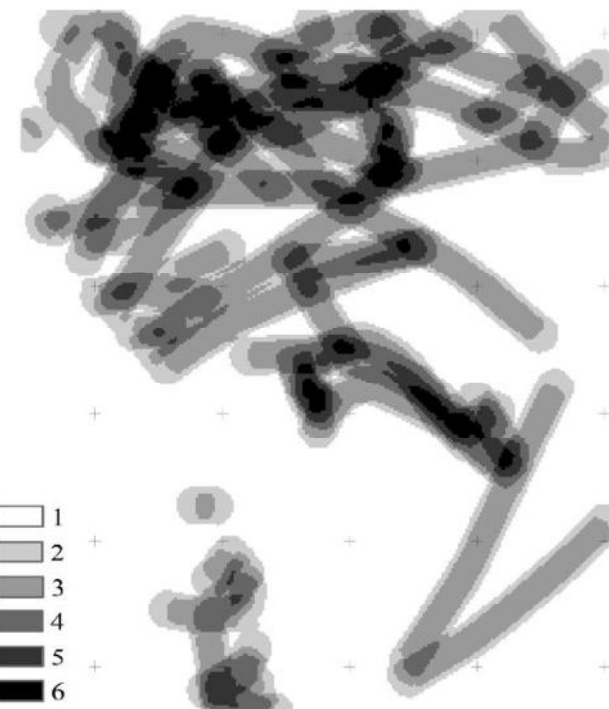
چگالی گسل منطقه با شعاع تأثیر ۱۰۰۰ متر در شکل ۹ نشان داده شده است.

تجمع گسل‌ها بیشتر در مناطق شمالی است که درجه حرارت سطحی نیز در آنجا بالاتر است. کین همکاران (۲۰۱۱) پس از بازیابی دمای سطحی، ارتباط این مناطق را با گسل‌های منطقه بررسی و درنهایت گسل‌ها را به عنوان کانال‌هایی برای صعود درجه حرارت منبع زمین‌گرمایی به سطح زمین معرفی کردند.

براساس نقشه زمین‌شناسی، دو مرکز آتشفسانی و یک چشمۀ آب‌گرم در منطقه وجود دارد (شکل ۸). انرژی زمین‌گرمایی در مناطق مرتبط با آتشفسان‌های فعال یا جوان غیرفعال که در حال ازدستدادن گرمای Yousefi (2007) خود در اعمق هستند، قبل دستیابی است (ولی اتفاق ماجمایی آنها در عمق همچنان گرم و دارای درجه حرارت بالایی است. فعالیت‌های تکتونیکی، ماجمایی، فرایندهای همراه با این فعالیت‌ها و هدایت گرمایی سنگ‌های مجاور باعث گرمایش سیالات موجود در طبقات فوقانی و ایجاد مخازن زمین‌گرمایی می‌شوند (Qin et al., 2011).

۵-۳- گسل‌ها

گسل‌ها و شکستگی‌ها که عامل اصلی انتقال سیالات زیرسطحی هیدروترمال در میادین ژئوترمال به‌شمار می‌آیند، از مراحل اولیۀ اکتشاف تا آخرین مراحل



شکل ۹. چگالی گسل‌ها به‌صورت طبقه‌بندی شده

زمین‌گرمایی منطقه فردوس به دست آمد (شکل ۱۰). در این شکل، مناطق با پتانسیل بالای زمین‌گرمایی در دو ناحیه شمالی منطقه مورد مطالعه قرار دارند و بر این اساس می‌توان دو منبع اصلی زمین‌گرمایی (A و B) را در منطقه فردوس تعریف کرد.

۷-۳- صحبت‌سننجی

در منطقه مطالعاتی به دلیل تعداد کم شواهد میدانی برای صحبت‌سننجی، با استفاده از اطلاعات موجود اقدام به بررسی صحت منابع مشخص شده به صورت کیفی و توصیفی گردید.

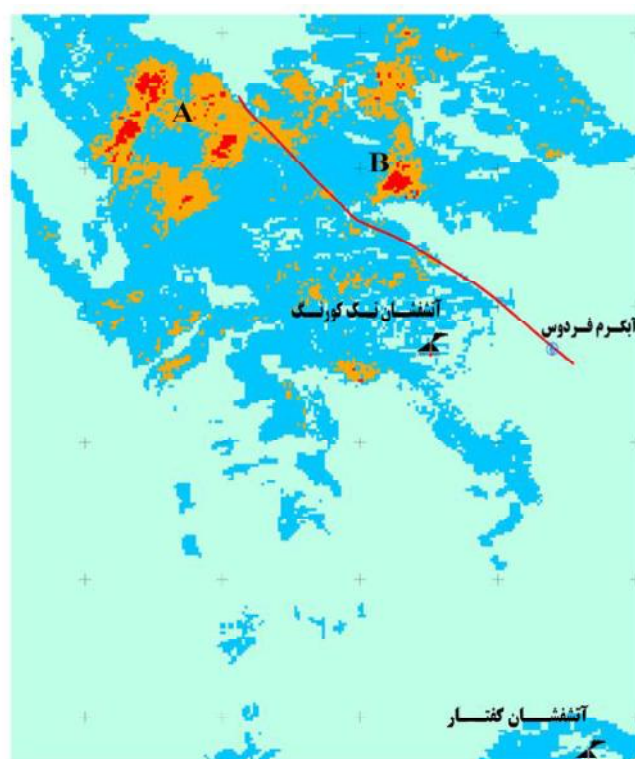
۶-۳- تلفیق لایه‌ها به روش همپوشانی وزنی

به دلیل پراکندگی نامناسب اطلاعات زمین‌شناسی و شواهد زمین‌گرمایی در تمام بخش‌ها، در مطالعه حاضر از روش همپوشانی وزن دار - که روشی دانش‌محور است - استفاده شد. لایه‌های اطلاعاتی به دست آمده در مراحل قبل، براساس میزان اهمیت در اکتشاف منابع ژئترمال، به صورت جدول ۵ امتیازدهی و با یکدیگر تلفیق شدند.

با تلفیق لایه‌های اطلاعاتی درجه حرارت سطحی، واحدهای سنگی منطقه، چگالی گسل، نواحی اکسیدهای آهن و کانی‌های رسی، نقشهٔ منابع

جدول ۵. وزن دهی به لایه‌ها در روش همپوشانی وزن دار

لایه اطلاعاتی	آلتراسیون بنیان OH	اکسیدهای آهن	چگالی گسل	واحدهای سنگی	دماهی سطحی	۲۵
وزن	۲۰	۱۰	۲۰	۲۵	بدون پتانسیل	۲۵



شکل ۱۰. تصویر نهایی تلفیق اطلاعات به روش همپوشانی وزنی و مناطق مستعد زمین‌گرمایی

رزاقی ا، ۱۳۹۰، انرژی زمین‌گرمایی و کاربردهای آن، نشاء علم، سال دوم، شماره اول، صص. ۳۰-۳۵.

سازمان زمین‌شناسی و اکتشافات معدنی کشور، نقشه زمین‌شناسی ۱:۱۰۰,۰۰۰ فردوس، شماره شیت ۷۶۵۸.

علوی‌پناه س.ک، ۱۳۸۱، مطالعه پدیده‌های سطحی یارانگ‌های بیابان لوت با استفاده از مطالعات میدانی و داده‌های حرارتی ماهواره، بیابان، جلد هفتم، شماره سوم، صص. ۶۷-۷۹.

علوی‌پناه س.ک، ۱۳۸۲، کاربرد سنجش از دور در علوم زمین، انتشارات دانشگاه تهران، تهران.

علوی‌پناه س.ک، ۱۳۸۷، سنجش از دور حرارتی و کاربرد آن در علوم زمین، چاپ دوم، انتشارات دانشگاه تهران، تهران.

علوی‌پناه س.ک، سراجیان، مر، ۱۳۸۱، برسی محدودیت‌های تهیه نقشه دمای سطح بیابان لوت با استفاده از داده‌های باند حرارتی ماهواره لندست، بیابان، جلد هفتم، شماره اول، صص. ۶۵-۹۹.

کی نژاد ص، مختاری، ار، فتحیان‌پور، ن، ایران‌نژادی، مر، ۱۳۹۱، پتنسیل‌بایی منابع زمین‌گرمایی استان آذربایجان شرقی در مقیاس ۱:۲۵۰۰۰ با استفاده از داده‌های زمین‌شناسی و اکتشافی در محیط GIS، زمین‌شناسی کاربردی پیشرفته، شماره ۳، جلد ۱، صص. ۱۰۵-۱۱۶.

متکان، ع.ا، یزدی، م، عashorlu، د، ساداتی، س.ن، ۱۳۹۱، کاربرد سنجش از دور در شناسایی گسل‌ها، دگرسانی‌ها و کشف رابطه میان لیتو‌لوژی و پوشش گیاهی در منطقه سیاه‌بیشه (مازندران)، علوم محیطی، سال نهم، شماره چهارم، صص. ۱۲۱-۱۳۲.

نظری‌پور، ح، فتوحی، ص، پودینه، م.ر، ۱۳۸۹، ضرورت تجدیدنظر در منابع انرژی و جایگزینی انرژی‌های نو (انرژی زمین‌گرمایی)، چهارمین کنگره بین‌المللی جغرافی‌دانان جهان اسلام، زاهدان، ایران.

وجود دو آتشفسان خاموش در منطقه و در مجاورت منابع A و B، وجود چشمۀ آب‌گرم - که در نیمة شهریورماه سال ۱۳۹۱ درجه حرارت آب خروجی از دهانه آن ۴۳ درجه سلسیوس برداشت شد - در پایین دست این منابع و گسلی که از مجاورت دو منبع A و B می‌گذرد و به چشمۀ آب‌گرم ختم می‌شود و احتمالاً آب‌گرم از مخزن زمین‌گرمایی از طریق این گسل به سطح زمین راه می‌یابد، همگی دلایلی هستند که می‌توانند درستی نقشه تولیدی را تأیید کنند. از آنچه گفته شد چنین برمی‌آید که مانند نقش منبع حرارتی مهمی برای منطقه مورد مطالعه دارد و گسل‌ها، کانال‌های حرارتی را برای انتقال حرارت داخلی زمین به سطح زمین فراهم می‌کنند.

۴- نتیجه‌گیری و پیشنهادها

نتایج پژوهش حاضر نشان می‌دهند که مطالعات دورسنجی با استفاده از داده‌های ماهواره لندست کارایی بالایی در اکتشاف ناحیه‌ای منابع زمین‌گرمایی دارند. منابع زمین‌گرمایی مشخص شده در این مطالعه همبستگی مکانی مناسبی با شواهد زمین‌گرمایی موجود در منطقه فردوس دارند. ترکیبی از سنجش از دور حرارتی با تجزیه و تحلیل زمین‌شناسی و درک درستی از سازوکارهای زمین‌گرمایی، رویکردی دقیق و کارآمد برای تشخیص منابع زمین‌گرمایی خواهد بود. استفاده از مطالعات رئوفیزیکی، ژئوشیمیایی و مغناطیس‌سنجی، برای شناسایی موقعیت مکانی دقیق‌تر منابع گرمایی در مناطق دارای اولویت بالاتر پیشنهاد می‌شود.

۵- منابع

بیانی ع، ضیائیان فیروزآبادی، پ، متکان، ع.ا، شکیبا، ع، ۱۳۸۷، تهیه نقشه دگرسانی گرمایی با استفاده از تکنیک‌های پردازش تصاویر ماهواره‌ای (مطالعه موردی: مشگین‌شهر-اهر)، زمین‌شناسی ایران، سال دوم، شماره هفتم، صص. ۳۹-۵۲.

- Amiri, R., Weng, Q., Alimohammadi, A. and Alavipanah, S.K., 2009, **Spatial-temporal Dynamics of Land Surface Temperature in Relation to Fractional Vegetation Cover and Land Use/cover in the Tabriz Urban Area, Iran**, Remote Sensing of Environment, Vol. 113, PP. 2606- 2617.
- Bonham-Carter, G.F., 1994, **Geographic Information Systems for Geoscientists: Modelling with GIS**, Access Online via Elsevier.
- Crosta, A.P. and Moore, J., 1989, **Enhancement of Landsat Thematic Mapper Imagery for Residual Soil Mapping in SW Minas Gerais State, Brazil- A Prospecting Case History in Greenstone Belt Terrain**, in Thematic Conference on Remote Sensing for Exploration Geology- Methods, Integration, Solutions, 7th, Calgary, Canada, PP. 1173-1187.
- ENEL (Ente Nazionale per l'Energia Elettrica), 1980, **Geothermal Power Development Studies in Iran**, General Report on Damavand Zone, Appendix I, Technical Specification, General Report.
- Eneva, M., Coolbaugh, M. and Combs, J., 2006, **Application of Satellite Thermal Infrared Imagery to Geothermal Exploration in East Central California**, GRC Transactions, Vol. 30, PP. 407 - 411.
- ERDAS, 2001, **ERDAS Imagine Tour Guides**, ERDAS IMAGINE V8. 4, ERDAS, Inc., Atlanta Georgia, United States of America.
- Ferrier, G., White, K., Griffiths, G., Bryant, R. and Stefouli, M., 2002, **The Mapping of Hydrothermal Alteration Zones on the Island of Lesvos, Greece Using an Integrated Remote Sensing Dataset**, International Journal of Remote Sensing, Vol. 23, No. 2, PP. 341-356.
- Geothermal Resources Council, 2012, **What is Geothermal?**, Accessed 21 July 2012, Available at URL: <http://www.geothermal.org/what.html>
- Hellman, M.J. and Ramsey, M.S., 2004, **Analysis of Hot Springs and Associated Deposits in Yellowstone National Park using ASTER and AVIRIS Remote Sensing**, Journal of Volcanology and Geothermal Research, Vol. 135 (1-2), PP. 195-219.
- Hodder D.T., 1970, **Application of Remote Sensing to Geothermal Prospecting**, Geothermics, Vol. 2, PP. 368-380.
- Huenges, E., 2009, **Geothermal Energy Systems, Exploration, Development and Utilization**, WILEY-VCH, Germany.
- Irish, R., 2000, **Landsat 7 Science Data Users Handbook**, NASA Report.
- Lee, K., 1978, **Analysis of Thermal Infrared Imagery of the Black Rock Desert Geothermal Area**, Colorado School of Mines Quarterly, Vol. 4 (2), PP. 31-44.
- Mia, M.B., Bromley, C.J. and Fujimitsu, Y., 2012, **Monitoring Heat Flux Using Landsat TM/ETM+ Thermal Infrared Data- A Case Study at Karapiti ('Craters of the**

- Moon') Thermal Area**, New Zealand, Journal of Volcanology and Geothermal Research, Vol. 235 - 236, PP. 1- 10.
- NASA (The National Aeronautics and Space Administration), 2012, **Atmospheric Correction Parameter Calculator**, [Internet] Accessed November 2012, Available at URL: <http://atmcorr.gsfc.nasa.gov/>.
- NCC (National Cartographic Center), 2001, **Ferdows Topographic Map 1:50,000**, Series Sheet No. 7658.
- Nouraliee, J., Porkhial, S., Tamjidi, A., 2010, **Re-evaluation of Geothermal Potential of Damavand Volcano**, Proceedings World Geothermal Congress, Bali, Indonesia.
- Qin, Q., Zhang, N., Nan, P. and Chai, L., 2011, **Geothermal Area Detection Using Landsat ETM+ Thermal Infrared Data and its Mechanistic Analysis - A Case Study in Tengchong**, China, International Journal of Applied Earth Observation and Geoinformation, Vol. 13, PP. 552-559
- Qin, Z. and Karnieli, A., 2001, **A Mono-window Algorithm for Retrieving Land Surface Temperature from Landsat TM Data and Its Application to the Israel-Egypt Border Region**, INT. J. REMOTE SENSING, Vol. 22, No. 18, PP. 3719 – 3746.
- Sobrino, J.A., Jiménez-Muñoz, J.C., and Paolini, L., 2004, **Land Surface Temperature Retrieval from Landsat TM 5**, Remote Sensing of Environment, Vol. 90, PP. 434 – 440.
- Wu, W., Zou, L., Shen, X., Lu, S., Su, N., Kong, F. and Dong Y., 2012, **Thermal Infrared Remote-Sensing Detection of Thermal Information Associated with Faults: A Case Study in Western Sichuan Basin**, China, Journal of Asian Earth Sciences, Vol. 43, PP. 110-117.
- Yousefi, H., 2007, **Geothermal Potential Site Selection Using GIS in Iran**, Thirty-Second Workshop on Geothermal Reservoir Engineering, Stanford University, Stanford, California.
- Yuliang, Q., Shangmin, Z. and Yue, F., 2009, **Methodology Research in Exploring Geothermal Resources by Using Infrared Remote Sensing**, in Image and Signal Processing, CISIP '09. 2nd International Congress on, PP. 1-4.
- Zhang, J., Wang, Y. and Li, Y., 2006, **A C⁺⁺ Program for Retrieving Land Surface Temperature from the Data of Landsat TM/ETM⁺ band6**, Computers & Geosciences, Vol. 32, PP. 1796–1805.